

**НЕСТАЦИОНАРНОЕ ОБТЕКАНИЕ ЦИЛИНДРА С ТОКОМ НЕСЖИМАЕМОЙ ПРОВОДЯЩЕЙ ЖИДКОСТЬЮ**

*B. I. Tokatly (Moskva)*

Рассмотрим следующую задачу. Бесконечный круглый цилиндр из диэлектрика обтекается несжимаемой невязкой жидкостью. На бесконечности поток однороден и скорость перпендикулярна оси цилиндра. На оси цилиндра расположен проводник с током, создающий магнитное поле. При  $t = 0$  «включается» проводимость  $\sigma = \text{const}$ , т. е. жидкость, обтекающая цилиндр, становится проводящей. Предполагается, что магнитное число Рейнольдса  $N_{\text{Rem}} = V_0 r_0 / v_m \ll 1$  и индуцируемым магнитным полем можно пренебречь, электрическое поле  $E = 0$  и ток определяется соотношением  $j = \sigma v \times H / c$ .

Так как в рассматриваемом случае векторы скорости и магнитного поля лежат в одной плоскости, то уравнение движения [1] после применения к нему операции гот приводится к виду

$$\frac{\partial}{\partial \tau} (\text{rot } \mathbf{u}) + (\mathbf{u} \cdot \nabla) \text{rot } \mathbf{u} = \beta (\mathbf{h} \cdot \nabla) \mathbf{u} \times \mathbf{h} \quad (1)$$

$$R = r_0 \tau, \quad H = H_0 h, \quad v = V_0 u, \quad t = T_0 \tau, \quad T_0 = \frac{r_0}{V_0}$$

$$\beta = \frac{r_0 V_0 H_0^2}{4 \pi \rho_0 V_0^2 v_m}, \quad v_m = \frac{c^2}{4 \pi \sigma}$$

Здесь  $H_0$  — величина магнитного поля на границе цилиндра,  $V_0$  — скорость однородного потока жидкости на бесконечности,  $r_0$  — радиус цилиндра,  $\rho_0$  — плотность жидкости,  $v$  — скорость,  $H$  — напряженность магнитного поля,  $c$  — скорость света. Будем искать решение (1) в виде

$$\mathbf{u} = \mathbf{u}_0 + \tau \mathbf{u}_1 + \tau^2 \mathbf{u}_2 + \dots \quad (2)$$

Подставляя (2) в (1), получим для определения  $\mathbf{u}_n$  следующую систему:

$$\text{rot } \mathbf{u}_0 = 0, \quad \text{rot } \mathbf{u}_1 = \beta (\mathbf{h} \cdot \nabla) \mathbf{u}_0 \times \mathbf{h}, \dots \quad (3)$$

$$\text{rot } \mathbf{u}_n = \frac{\beta}{n} (\mathbf{h} \cdot \nabla) \mathbf{u}_{n-1} \times \mathbf{h} - \frac{1}{n} \sum_{k=0}^{n-2} (\mathbf{u}_k \cdot \nabla) \text{rot } \mathbf{u}_{n-(k+1)}$$

Учитывая уравнение непрерывности

$$\text{div } \mathbf{u} = 0 \quad (4)$$

можно определить  $\mathbf{u}_n$  через функцию тока  $\psi_n$

$$u_{nr} = \partial \psi_n / \partial r, \quad u_{n\theta} = - \partial \psi_n / \partial \theta$$

Границные условия таковы:

$$\psi_{n/r=1} = 0, \quad \psi_n \rightarrow 0 \quad \text{при } r \rightarrow \infty \quad (n \geq 1), \quad \psi_\theta = (r - r^{-1}) \sin \theta$$

При  $\tau \rightarrow 0$  из (3) легко находим

$$\begin{aligned} \psi = & (r - r^{-1}) \sin \theta + \frac{1}{2} \beta \tau [\frac{1}{4} (r^{-1} - r^{-3}) - r^{-1} \ln r] \sin \theta + \tau^2 \frac{1/2}{4} (\beta / 4)^2 [\frac{7}{12} r^{-1} - \\ & - \frac{1}{2} r^{-3} - \frac{1}{12} r^{-5} - r^{-3} \ln r] \sin \theta + \beta [\frac{13}{96} r^{-2} - \frac{1}{6} r^{-4} + \frac{1}{32} r^{-6} - \\ & - \frac{1}{4} r^{-2} \ln r] \sin 2\theta] + O(\tau^3) \end{aligned}$$

При  $r \rightarrow 1$ , полагая  $r = 1 + \rho$ , ( $\rho \ll 1$ ), имеем

$$\psi = \rho [(2 - \frac{1}{4} \beta \tau + \frac{1}{96} (\beta \tau)^2) \sin \theta - \frac{1}{24} \beta \tau^2 \sin 2\theta]$$

$$u_r = \rho [(2 - \frac{1}{4} \beta \tau + \frac{1}{96} (\beta \tau)^2) \cos \theta - \frac{1}{12} \beta \tau^2 \cos 2\theta]$$

Из последнего выражения следует, что линии тока «отходят» от цилиндра и происходит торможение жидкости, причем около задней критической точки скорость изменяется на большую величину, чем около передней критической точки.

Рассмотрим теперь течение при  $\beta \rightarrow 0$ . В этом случае поле скоростей возмущается слабо, и (1) можно переписать в виде

$$\frac{\partial}{\partial \tau} \text{rot } \mathbf{u} + (\mathbf{u}_0 \cdot \nabla) \text{rot } \mathbf{u} = \beta (\mathbf{h} \cdot \nabla) \mathbf{u}_0 \times \mathbf{h} \quad (5)$$

а (3) переходит в систему

$$\Delta \psi_0 = 0, \quad \Delta \psi_1 = - \beta (\mathbf{h} \cdot \nabla)^2 \psi_0, \dots, \quad \Delta \psi_n = - \frac{1}{n} (\mathbf{u}_0 \cdot \nabla) \Delta \psi_{n-1} \quad (n \geq 2) \quad (6)$$

Решение (6) можно представить в виде

$$\psi_0 = (r - r^{-1}) \sin \theta, \quad \psi_n = \beta \sum_{l=0}^q R_{nl} \sin(n-2k)\theta \quad (n \geq 1) \quad (7)$$

$$R_{nk} = c_{nl} r^{2k-n} + \sum_{m=0}^n b_{nlm} \left[ (1 - \delta_{0l} \delta_{nm}) r^{2m-3n} + \delta_{0l} \delta_{nm} \frac{\ln r}{r^n} \right]$$

$$c_{nl} = - \sum_{m=0}^n b_{nlm} (1 - \delta_{0l} \delta_{nm}), \quad b_{nlm} = \frac{a_{nlm}}{(2m-3n)^2 - (n-2k)^2} \begin{cases} m \neq n \\ k \neq 0 \end{cases} b_{n0n} = - \frac{a_{n0n}}{2n}$$

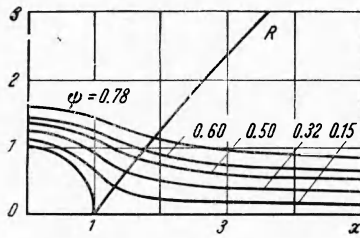
$$a_{nlm} = \frac{1}{n} \left\{ (n+k-m) [(1-\delta_{0l})(1-\delta_{0m}) \frac{1-\delta_{ql}(-1)^n}{1+\delta_{ql}} a_{n-1,l-1,m-1} - \right.$$

$$- (1-\delta_{nm}) \frac{1+\delta_{ql}(-1)^n}{1+\delta_{ql}} a_{n-1,l,m}] + (2n-k-m) \left[ (1-\delta_{0m}) \frac{1+\delta_{ql}(-1)^n}{1+\delta_{ql}} \times \right.$$

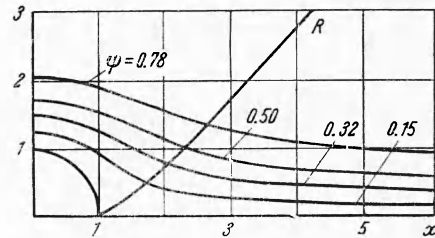
$$\times a_{n-1,l,m-1} - (1-\delta_{0l})(1-\delta_{nm}) \frac{1-\delta_{ql}(-1)^n}{1+\delta_{ql}} a_{n-1,l-1,m} \left. \right] \}$$

$$q = q_n = q_{n-1} + 1/2 [1 - (-1)^n], \quad q_1 = 0, \quad a_{100} = -1, \quad a_{201} = 1$$

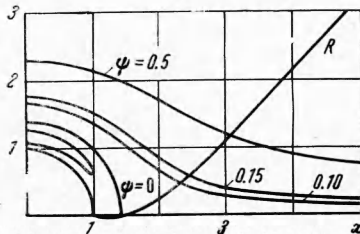
Здесь  $\delta_{nm}$  — символ Кронекера. Из оценки отброшенных членов следует, что полученное решение (7) применимо при  $\tau \ll 1/\beta$ .



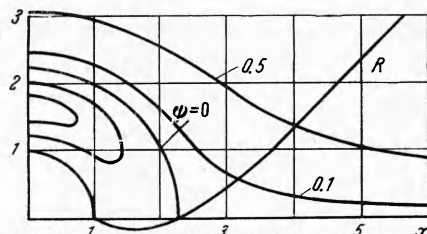
Фиг. 1



Фиг. 2



Фиг. 3



Фиг. 4

Более простые выражения получаются в другом предельном случае, когда  $\beta \rightarrow \infty$ . Введя новую переменную  $\tau_1 = \beta \tau$ , приведем (1) к виду

$$\beta \frac{\partial \operatorname{rot} \mathbf{u}}{\partial \tau_1} + (\mathbf{u} \cdot \nabla) \operatorname{rot} \mathbf{u} = \beta (\mathbf{h} \cdot \nabla) \mathbf{u} \times \mathbf{h} \quad (8)$$

При  $\beta \rightarrow \infty$  пренебрегаем вторым членом в (8) и получаем для определения функции тока  $\psi$  уравнение

$$\partial(\Delta\psi)/\partial\tau_1 = -(\mathbf{h} \cdot \nabla)^2 \psi \quad (9)$$

Решение (9) можно представить в виде

$$\psi = \sin \theta \sum_{n=0}^{\infty} R_n = R \sin \theta, \quad R_0 = r - r^{-1} \quad (10)$$

$$\begin{aligned}
 R_n &= \frac{1}{r^{2n+1}} \left\{ (A_{n0} r^2 \ln r - B_{n0}) + \sum_{k=1}^n r^{2k} (A_{nk} - B_{nk}) \right\} \\
 A_{n0} &= \frac{\tau_1}{4n^2(n-1)} A_{n-1,0}, \quad A_{n1} = \frac{\tau_1}{4n^2(n-1)} \left[ \frac{2n-1}{2n(n-1)} A_{n-1,0} + A_{n-1,1} \right] \\
 A_{10} &= -\frac{\tau_1}{2} \\
 A_{11} &= 0, \quad A_{nk} = \frac{\tau_1}{4n(n+1-k)(n-k)} A_{n-1,k} \quad (2 \leq k \leq n-1), \quad A_{nn} = -\sum_{k=1}^{n-1} A_{nk} \\
 B_{nk} &= \frac{\tau_1}{4n(n+1-k)(n-k)} B_{n-1,k} \quad (0 \leq k \leq n-1), \quad B_{nn} = -\sum_{k=0}^{n-1} B_{nk}, \quad B_{00} = 1
 \end{aligned} \tag{11}$$

Вычисления  $R$  производились на ЭЦВМ для нескольких  $\tau_1$ . На фиг. 1 приведен график  $R$  и линии тока при  $\tau_1 = 2$ . Видно, что при  $\tau_1 = 2$  поле скоростей деформировалось еще слабо. Фиг. 2 соответствует  $\tau_1 = 8$ . Линии тока заметно отходят от цилиндра, а график  $R$  становится более пологим, что соответствует уменьшению скорости около цилиндра. При  $\tau_1 = 16$  около цилиндра появляется область, в которой жидкость циркулирует, оставаясь около цилиндра (фиг. 3). С ростом  $\tau_1$  область с захваченной жидкостью увеличивается (фиг. 4,  $\tau_1 = 32$ ).

Следует отметить, что если при  $\beta \gg 1$  существует стационарное решение, то поле скоростей в стационарном режиме должно существенно отличаться от изображенного на фиг. 4, так как в стационарном режиме невозможно течение с замкнутыми линиями тока. Чтобы показать это, запишем уравнение движения в виде [1]

$$\rho_0 [\partial v / \partial t + (v \cdot \nabla) v] = -\nabla p + \mathbf{j} \times \mathbf{H}/c \tag{12}$$

Интегрируя (12) вдоль линии тока, получаем при  $\partial v / \partial t = 0$

$$\oint v H_{\perp}^2 dl_v = 0 \tag{13}$$

Последнее соотношение может удовлетворяться при  $v \neq 0$  только при  $H_{\perp} = 0$ , т. е. когда линия тока совпадает с силовой линией магнитного поля. В рассматриваемой задаче это условие не выполняется. Отмеченная выше особенность решения (10) связана с тем, что оно применимо при  $\tau_1 \ll \beta$ .

В заключение отметим следующее. Если ток в проводнике изменяется со временем, то магнитное поле определяется из уравнений

$$\Delta a = N_{Rem} (\partial a / \partial \tau + \mathbf{u} \cdot \nabla a) \quad \text{при } r > 1, \quad \Delta a = -i\delta(r) \quad \text{при } r < 1$$

При  $N_{Rem} \ll 1$  правую часть первого уравнения можно заменить нулем, если  $T_* / T_i \ll 1$  ( $T_* = r^2_0 / v_m$ ,  $T_i$  — характерное время изменения тока в проводнике). В этом случае магнитное поле (с точностью до  $N_{Rem}$ ) есть

$$h_{\theta} = i(\tau) / r, \quad h_r = 0$$

Легко проверить, что если ток в проводнике изменяется по степенному закону  $i(\tau) = \tau^m$

и, кроме того,  $\beta \gg 1$ , то с точностью до членов  $\sim 1/\beta$  функция тока  $\psi$  определяется выражением

$$\psi = \sin \theta \sum_{n=0} R_n \left( \frac{2m+1}{\beta} \right)^{2mn} \left( \frac{\tau_1}{2m+1} \right)^{(2m+1)n} \tag{14}$$

где  $R_n$  определяется формулой (11), в которой нужно положить  $\tau_1 = 1$ .

Автор благодарит А. И. Морозова за ценные советы при обсуждении работы.

Поступила 14 II 1967

#### ЛИТЕРАТУРА

- Ландау Л. Д., Лифшиц Е. М. Электродинамика сплошных сред. Гостехиздат, 1957.